

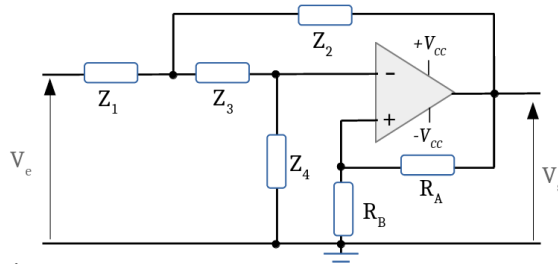
Calculatrice autorisée. Fiche recto-verso autorisée. Tout autre document interdit.

Les exercices sont indépendants. Le barème fourni est indicatif.

AMPLI LINEAIRE INTEGRE (ou AOP) : ils sont considérés dans tous les exercices comme idéaux.

Exercice I - Cellule de Sallen-Key (*XX points*)

On propose d'étudier le montage suivant :



On donne la relation suivante :

$$\frac{V_S}{V_E} = K_A \cdot \frac{Y_1 \cdot Y_3}{(Y_1 + Y_2) \cdot (Y_3 + Y_4) + Y_3 \cdot Y_4 - K_A \cdot Y_3 \cdot Y_2} \quad (1)$$

avec $Y_x = \frac{1}{Z_x}$ et $K_A = \frac{R_A + R_B}{R_B}$

I.1 - Système 1

Dans un premier temps, on s'intéressera au montage précédent avec les caractéristiques suivantes :

- Y_1 et Y_3 sont respectivement des capacités C_1 et C_3
- Y_2 et Y_4 sont respectivement des résistances R_2 et R_4

I.1.a (1,00) - Montrez que l'expression 1 peut alors se mettre sous la forme :

$$H_1(j\omega) = A_1 \cdot \frac{(j\frac{\omega}{\omega_{c1}})^2}{1 + 2 \cdot m_1 \cdot j \cdot \frac{\omega}{\omega_{c1}} + (j\frac{\omega}{\omega_{c1}})^2} \quad (2)$$

REPONSE

$Y_1 = jC_1\omega$, $Y_3 = jC_3\omega$, $Y_2 = 1/R_2$ et $Y_4 = 1/R_4$:

$$\frac{V_S}{V_E} = K_A \cdot \frac{(j\omega)^2 \cdot C_1 C_3 R_2 R_4}{1 + j\omega [R_4 C_3 (1 - K_A) + R_2 (C_1 + C_3)] + (j\omega)^2 \cdot C_1 C_3 R_2 R_4}$$

I.1.b (1,00) - Calculez les différents paramètres (A_1 , m_1 et ω_{c1}) à l'aide des éléments C_1 , C_3 , R_2 et R_4 .

REPONSE

$$\omega_{c1} = \frac{1}{\sqrt{C_1 C_3 R_2 R_4}}$$

$$A_1 = K_A$$

$$m_1 = \frac{R_4 C_3 (1 - K_A) + R_2 (C_1 + C_3)}{2 \sqrt{C_1 C_3 R_2 R_4}}$$

I.1.b (0,50) - Quel est le type de filtre qui est alors réalisé ? Quel est son ordre ?

REPONSE

Passe-haut d'ordre 2

I.1.c (0,50) - Que deviennent les paramètres calculés à la question **I.1.a** si $C_1 = C_3 = C$ et $R_2 = R_4 = R$?

REPONSE

$$\omega_{c1} = \frac{1}{RC}$$

$$A_1 = K_A$$

$$m_1 = \frac{3 - K_A}{2}$$

I.2 - Système 2

Dans un second temps, on s'intéressera au montage précédent avec les caractéristiques suivantes :

- Y_1 et Y_3 sont respectivement des résistances R_1 et R_3
- Y_2 et Y_4 sont respectivement des capacités C_2 et C_4

I.2.a (1,00) - Montrez que l'expression 1 peut alors se mettre sous la forme :

$$H_2(j\omega) = A_2 \cdot \frac{1}{1 + 2 \cdot m_2 \cdot j \cdot \frac{\omega}{\omega_{c2}} + (j\frac{\omega}{\omega_{c2}})^2} \quad (3)$$

REPONSE

$Y_2 = jC_2\omega$, $Y_4 = jC_4\omega$, $Y_1 = 1/R_1$ et $Y_3 = 1/R_3$:

$$\frac{V_S}{V_E} = K_A \cdot \frac{1}{1 + j\omega [R_1 C_2 (1 - K_A) + C_4 (R_1 + R_3)] + (j\omega)^2 \cdot C_2 C_4 R_1 R_3}$$

I.2.b (1,00) - Calculez les différents paramètres (A_2 , m_2 et ω_{c2}) à l'aide des éléments R_1 , R_3 , C_2 et C_4 .

REPONSE

$$\omega_{c2} = \frac{1}{\sqrt{C_2 C_4 R_1 R_3}}$$

$$A_1 = K_A$$

$$m_1 = \frac{R_1 C_2 (1 - K_A) + C_4 (R_1 + R_3)}{2 \sqrt{C_2 C_4 R_1 R_3}}$$

I.2.c (0,50) - Quel est le type de filtre qui est alors réalisé ? Quel est son ordre ?

REPONSE

Passe-bas d'ordre 2

I.2.d (0,50) - Que deviennent les paramètres calculés à la question **I.2.a** si $C_2 = C_4 = C$ et $R_1 = R_3 = R$?

REPONSE

$$\omega_{c1} = \frac{1}{RC}$$

$$A_1 = K_A$$

$$m_1 = \frac{3 - K_A}{2}$$

I.3 - Filtre complet

On souhaite réaliser un filtre passe-bande à l'aide des deux structures précédentes (Système 1 - $H_1(j\omega)$ - et Système 2 - $H_2(j\omega)$).

I.3.a (0,50) - Dans quel ordre faut-il mettre ces deux filtres ?

REPONSE

Pas d'importance si la fréquence de coupure est la même pour les deux systèmes.

I.3.b (0,50) - Donnez l'expression de la fonction de transfert $H(j\omega)$ de ce filtre lorsque toutes les capacités valent C et lorsque toutes les résistances valent R .

REPONSE

$$H(j\omega) = H_1(j\omega) \cdot H_2(j\omega)$$

On obtient alors :

$$H(j\omega) = \frac{A^2 \cdot (j\frac{\omega}{\omega_c})^2}{\left[1 + 2 \cdot m \cdot j \cdot \frac{\omega}{\omega_c} + (j\frac{\omega}{\omega_c})^2\right]^2}$$

avec : $m = (3 - K_A)/2$, $\omega_c = 1/RC$ et $A = K_A$

I.3.c (0,50) - Comment choisir les valeurs de R et C pour avoir une fréquence centrale de 38 kHz ? Comment choisir la valeur de K_A pour avoir un facteur d'amortissement $m_1 = m_2 = 0.7$?

REPONSE

On choisit R et C de telle façon que $\omega_c = 2 \cdot \pi \cdot 38$ kHz

On veut ensuite $m = 0.7$, or $m = (3 - K_A)/2$, on obtient alors que $K_A = 1.6$.

I.3.d (0,50) - Quel sera alors le gain à cette fréquence ?

REPONSE

On calcule $|H(j\omega_c)|$.

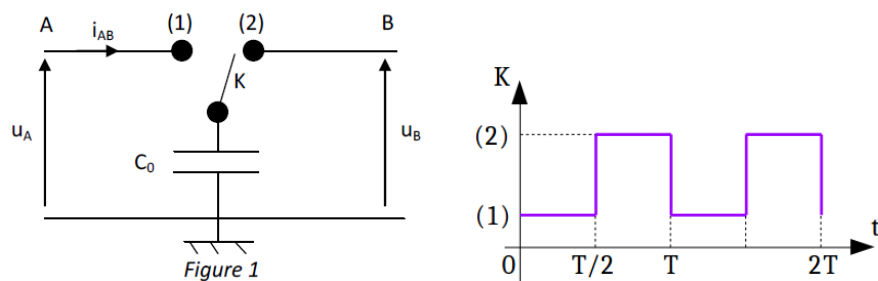
On obtient :

$$|H(j\omega_c)| = \frac{A_1}{2 \cdot m} \cdot \frac{A_2}{2 \cdot m}$$

On trouve alors : $|H(j\omega_c)| = 0,91$

I.4 - Amélioration

On souhaite remplacer les résistances R du filtre précédent par des cellules de ce type, en appliquant sur l'interrupteur commandé K le signal de droite :



I.4.a (0,50) - Calculez la charge stockée dans C_0 entre les instants 0 et $T/2$, puis entre les instants $T/2$ et T .

REPONSE

Pour $0 \leq t \leq T/2$, on a $u_{C0} = u_A$ et $Q_A = C_0 \cdot u_A$.

Pour $T/2 \leq t \leq T$, on a $u_{C0} = u_B$ et $Q_B = C_0 \cdot u_B$.

I.4.b (0,50) - Quelle quantité de charges passe de A vers B entre les instants 0 et T ?

REPONSE

$$\Delta Q = Q_A - Q_B = C_0 \cdot (u_A - u_B)$$

I.4.c (0,50) - Calculez alors le courant moyen circulant du point A au point B pendant une période T.

REPONSE

$$i_{AB} = \Delta Q/T = C_0 \cdot (u_A - u_B)/T = f \cdot C_0 \cdot (u_A - u_B)$$

I.4.d (0,50) - Donner l'expression de la résistance équivalente R_{AB} vue entre les bornes A et B de cette cellule.

REPONSE

$$R_{AB} = (u_A - u_B)/i_{AB} = 1/(f \cdot C_0)$$

I.4.e (0,50) - Que devient l'expression de ω_{C1} obtenue à la question **I.1.c** si on remplace R par R_{AB} ?

REPONSE

$$\omega_{C1} = f \cdot C_0/C$$

I.4.f (0,50) - Si l'on choisit $C = 100 \text{ nF}$ et $C_0 = 680 \text{ nF}$, quelle fréquence faut-il alors appliquer sur les composants K pour obtenir la même fréquence centrale de 38 kHz ? Quel est alors l'intérêt d'une telle structure ?

REPONSE

$$f = 2 \cdot \pi \cdot f_c \cdot C/C_0.$$

On obtient : $f = 35 \text{ kHz}$

Exercice II - Détection d'un signal lumineux (2 points)

On souhaite transmettre un signal lumineux modulé à 38 kHz à l'aide d'une LED et récupérer ce signal à l'aide d'une photodiode de type **BPW34** (dont la documentation technique est donnée en annexe).

II.1 (0,25) - Quelle est la longueur d'onde la plus adaptée pour transmettre l'information ?

REPONSE

$$\lambda_p = 900 \text{ nm} \text{ (dans Basic Charac.)}$$

II.2 (0,25) - Cette photodiode est-elle suffisamment rapide pour cette application ? Vous justifierez votre réponse en précisant sur quels paramètres de la photodiode vous vous êtes appuyés.

REPONSE

Rise/Fall Time $t_r = t_f = 100 \text{ ns}$ (temps de réponse).

$$\tau = t_f + t_r = 200 \text{ ns} \text{ d'où } f = 1/\tau = 5 \text{ MHz.}$$

Cette fréquence est supérieure à la fréquence de la porteuse à 38 kHz.

II.3 (0,50) - Si on se place à une longueur d'onde $\lambda = 950 \text{ nm}$, quelle est la sensibilité de ce capteur (pour $V_R = 5 \text{ V}$) ? Vous préciserez sur quelles parties et figures de la documentation technique vous vous êtes appuyés pour répondre. Il peut être intéressant de calculer la surface active du capteur...

REPONSE

Pour $\lambda = 950 \text{ nm}$, à la figure 5, on trouve : pour $k = 0.2 \text{ mW/cm}^2$, on a $I_R = 10 \mu\text{A}$.

La sensibilité du capteur est alors : $S_\lambda = I_R/(k \cdot S_{u_{capt}})$, avec $S_{u_{capt}} = (0.3 \text{ cm}^2)$.

$$\text{On obtient alors : } S_\lambda = 0.56 \text{ A/W.}$$

II.4 (1,00) - Proposer un circuit de détection qui optimise la bande-passante et qui permette d'avoir une tension de 5 V en sortie pour un éclairement de 100 lx (pour $V_R = 5 \text{ V}$).

REPONSE

Circuit transimpédance.

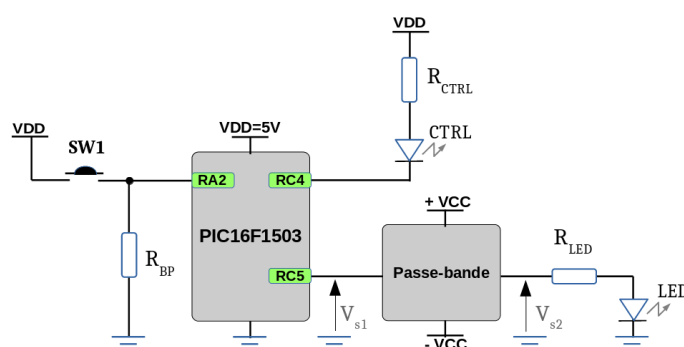
Pour le calcul de la résistance de contre-réaction R_T , on prend pour $E = 100 \text{ lx}$, $I_R = 9 \mu\text{A}$.

Pour cette valeur de courant, on souhaite $V_S = 5 \text{ V}$. Et $V_S = R_T \cdot I_R$.

$$\text{Ainsi } R_T = V_S/I_R = 56 \text{ k}\Omega$$

Exercice III - Transmission à l'aide d'un microcontrôleur (xx points)

On s'intéresse à présent au montage suivant, intégrant un microcontrôleur de type PIC16F1503 (une partie de la documentation technique est fournie en annexe).



III.1 (0,25) - Quelles valeurs peuvent prendre les différentes broches connectées du microcontrôleur ?

REPONSE

Ce sont des entrées/sorties numériques. Elles peuvent prendre les valeurs 0 V ou 5 V.

III.2 (0,25) - Quelle valeur logique faut-il appliquer sur la broche *RC4* pour allumer la LED *CTRL* ?

REPONSE

Il faut appliquer un '0' logique sur la broche *RC4*.

III.2 (0,25) - Comment doit-on configurer les broches *RA2*, *RC4* et *RC5* du microcontrôleur ?

REPONSE

RA2 en entrée numérique et *RC4* et *RC5* en sorties numériques.

III.3 (0,50) - En vous aidant des pages 98-99 et 102-103 de la documentation constructeur, proposez une fonction d'initialisation de ce composant. Vous préciserez ce que fait chacune des lignes de code que vous écrirez.

REPONSE

```
void init(void){
    ANSELA = 0;
    ANSELC = 0;
    TRISAbits.TRISA2 = 1;
    TRISCbits.TRISC4 = 0;
    TRISCbits.TRISC5 = 0;
}
```

On donne la boucle principale suivante :

```
1  while (1){
2      if (PORTAbits.RA2 == 1){
3          PORTCbits.RC5 = !PORTCbits.RC5;
4          __delay_us(39);
5      }
6      else { PORTCbits.RC5 = 0; }
7 }
```

La fonction `__delay_us(int k)` permet d'introduire un délai de $k \mu s$.

III.4 (0,50) - Tracer l'évolution de $V_{S1}(t)$ en fonction du temps, lorsque le bouton-poussoir *SW1* est appuyé.

REPONSE

Signal carré de demi-période $39 \mu s$

III.5 (0,50) - Quelle est la période de ce signal ? Sa fréquence ?

REPONSE

La période de ce signal vaut $78 \mu s$, soit une fréquence de $f_s = 12.8 \text{ kHz}$

III.6 (0,50) - Que devient ce signal après passage dans le filtre passe-bande de fréquence centrale de 38 kHz (signal $V_{S2}(t)$) ?

REPONSE

Le signal carré fourni par le microcontrôleur peut être décomposé en une somme infinie de signaux sinusoïdaux, dont le fondamental est à 12.8 kHz et qui est constitué alors des harmoniques de rang impair.

On peut alors remarquer que $3 \cdot f_s = 38$ kHz. Ainsi, l'harmonique de rang 3 passe à travers ce filtre. On obtient alors en sortie un sinus à une fréquence de 38 kHz.

Silicon PIN Photodiode



94 8583


RoHS
COMPLIANT

GREEN
(S-2008) **

FEATURES

- Package type: leaded
- Package form: top view
- Dimensions (L x W x H in mm): 5.4 x 4.3 x 3.2
- Radiant sensitive area (in mm²): 7.5
- High photo sensitivity
- High radiant sensitivity
- Suitable for visible and near infrared radiation
- Fast response times
- Angle of half sensitivity: $\phi = \pm 65^\circ$
- Compliant to RoHS Directive 2002/95/EC and in accordance to WEEE 2002/96/EC

Note

** Please see document "Vishay Material Category Policy":
www.vishay.com/doc?9902

APPLICATIONS

- High speed photo detector

DESCRIPTION

BPW34 is a PIN photodiode with high speed and high radiant sensitivity in miniature, flat, top view, clear plastic package. It is sensitive to visible and near infrared radiation. BPW34S is packed in tubes, specifications like BPW34.

| PRODUCT SUMMARY | | | |
|------------------------|----------------------------|--------------|----------------------|
| COMPONENT | I _{ra} (μ A) | ϕ (deg) | $\lambda_{0.1}$ (nm) |
| BPW34 | 50 | ± 65 | 430 to 1100 |
| BPW34S | 50 | ± 65 | 430 to 1100 |

Note

- Test condition see table "Basic Characteristics"

| ORDERING INFORMATION | | | |
|-----------------------------|-----------|------------------------------|--------------|
| ORDERING CODE | PACKAGING | REMARKS | PACKAGE FORM |
| BPW34 | Bulk | MOQ: 3000 pcs, 3000 pcs/bulk | Top view |
| BPW34S | Tube | MOQ: 1800 pcs, 45 pcs/tube | Top view |

Note

- MOQ: minimum order quantity

| ABSOLUTE MAXIMUM RATINGS (T _{amb} = 25 °C, unless otherwise specified) | | | | |
|--|--|-------------------|---------------|------|
| PARAMETER | TEST CONDITION | SYMBOL | VALUE | UNIT |
| Reverse voltage | | V _R | 60 | V |
| Power dissipation | T _{amb} ≤ 25 °C | P _V | 215 | mW |
| Junction temperature | | T _j | 100 | °C |
| Operating temperature range | | T _{amb} | - 40 to + 100 | °C |
| Storage temperature range | | T _{stg} | - 40 to + 100 | °C |
| Soldering temperature | t ≤ 3 s | T _{sd} | 260 | °C |
| Thermal resistance junction/ambient | Connected with Cu wire, 0.14 mm ² | R _{thJA} | 350 | K/W |

| BASIC CHARACTERISTICS ($T_{amb} = 25^\circ C$, unless otherwise specified) | | | | | | |
|---|--|-----------------|------|---------------------|------|-------|
| PARAMETER | TEST CONDITION | SYMBOL | MIN. | TYP. | MAX. | UNIT |
| Breakdown voltage | $I_R = 100 \mu A, E = 0$ | $V_{(BR)}$ | 60 | | | V |
| Reverse dark current | $V_R = 10 V, E = 0$ | I_{ro} | | 2 | 30 | nA |
| Diode capacitance | $V_R = 0 V, f = 1 MHz, E = 0$ | C_D | | 70 | | pF |
| | $V_R = 3 V, f = 1 MHz, E = 0$ | C_D | | 25 | 40 | pF |
| Open circuit voltage | $E_e = 1 mW/cm^2, \lambda = 950 nm$ | V_o | | 350 | | mV |
| Temperature coefficient of V_o | $E_e = 1 mW/cm^2, \lambda = 950 nm$ | TK_{Vo} | | - 2.6 | | mV/K |
| Short circuit current | $E_A = 1 klx$ | I_k | | 70 | | μA |
| | $E_e = 1 mW/cm^2, \lambda = 950 nm$ | I_k | | 47 | | μA |
| Temperature coefficient of I_k | $E_e = 1 mW/cm^2, \lambda = 950 nm$ | TK_{Ik} | | 0.1 | | %/K |
| Reverse light current | $E_A = 1 klx, V_R = 5 V$ | I_{ra} | | 75 | | μA |
| | $E_e = 1 mW/cm^2, \lambda = 950 nm, V_R = 5 V$ | I_{ra} | 40 | 50 | | μA |
| Angle of half sensitivity | | ϕ | | ± 65 | | deg |
| Wavelength of peak sensitivity | | λ_p | | 900 | | nm |
| Range of spectral bandwidth | | $\lambda_{0.1}$ | | 430 to 1100 | | nm |
| Noise equivalent power | $V_R = 10 V, \lambda = 950 nm$ | NEP | | 4×10^{-14} | | W/√Hz |
| Rise time | $V_R = 10 V, R_L = 1 kΩ, \lambda = 820 nm$ | t_r | | 100 | | ns |
| Fall time | $V_R = 10 V, R_L = 1 kΩ, \lambda = 820 nm$ | t_f | | 100 | | ns |

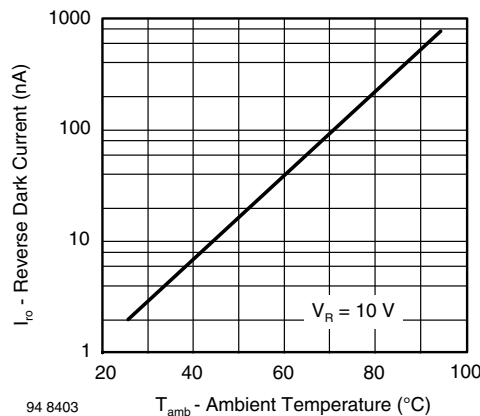
BASIC CHARACTERISTICS ($T_{amb} = 25^\circ C$, unless otherwise specified)


Fig. 1 - Reverse Dark Current vs. Ambient Temperature

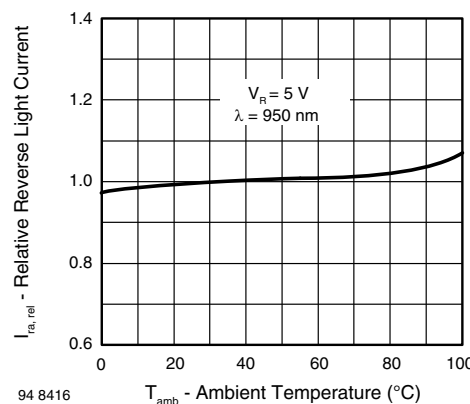


Fig. 2 - Relative Reverse Light Current vs. Ambient Temperature

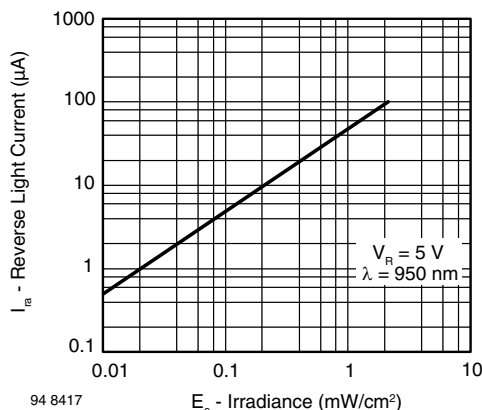


Fig. 3 - Reverse Light Current vs. Irradiance

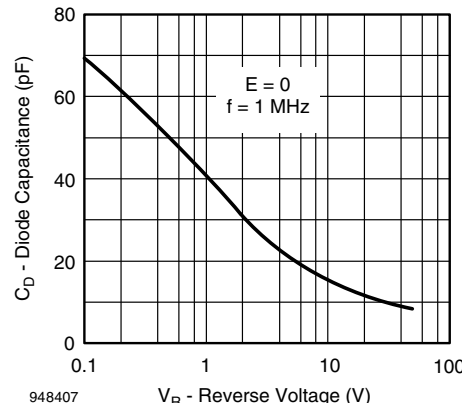


Fig. 6 - Diode Capacitance vs. Reverse Voltage

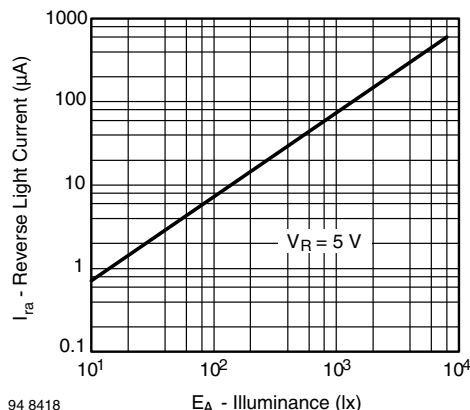


Fig. 4 - Reverse Light Current vs. Illuminance

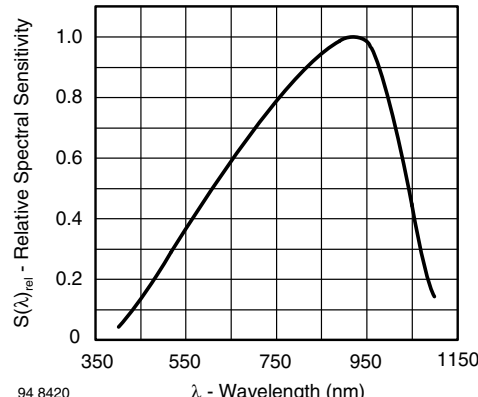


Fig. 7 - Relative Spectral Sensitivity vs. Wavelength

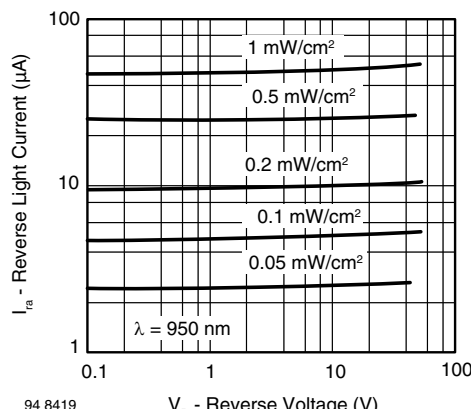


Fig. 5 - Reverse Light Current vs. Reverse Voltage

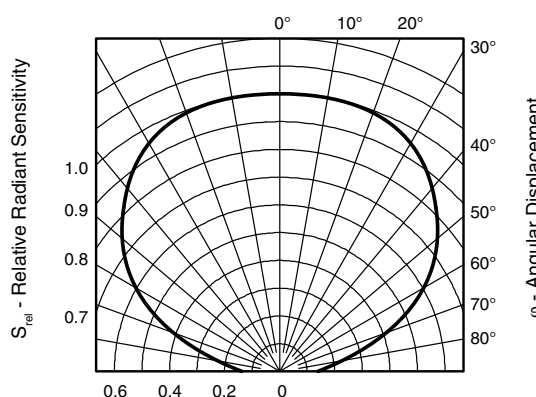
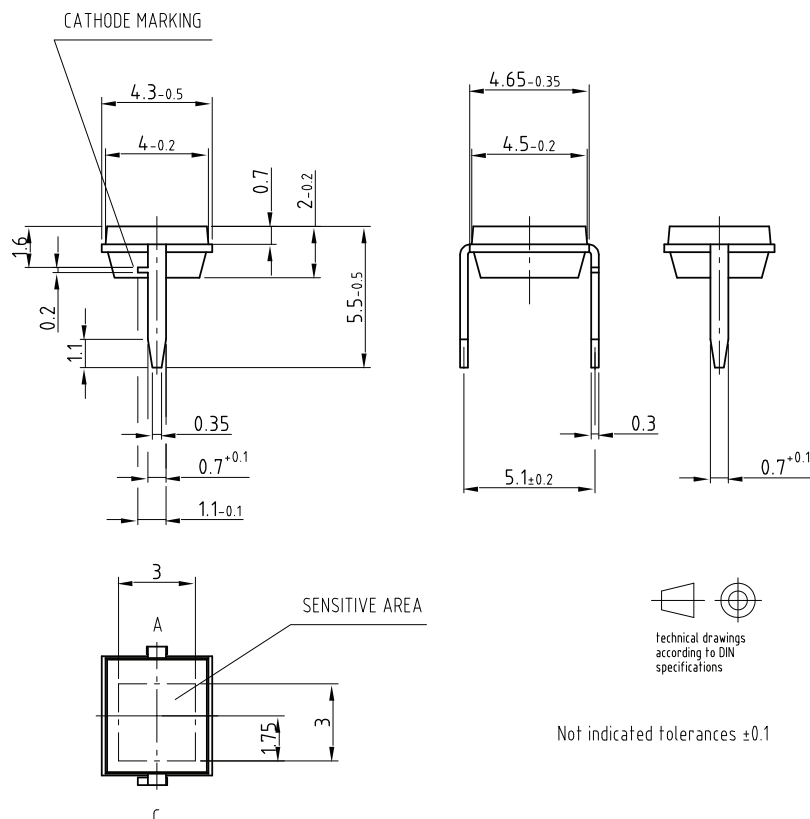


Fig. 8 - Relative Radiant Sensitivity vs. Angular Displacement

PACKAGE DIMENSIONS in millimeters


Drawing-No.: 6.544-5315.01-4

Issue: 1; 19.10.07

96 12186

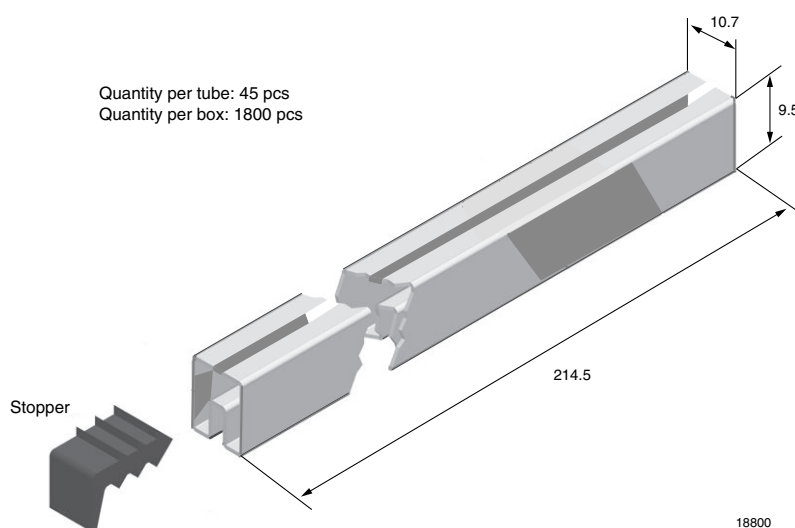
TUBE PACKAGING DIMENSIONS in millimeters


Fig. 9 - Drawing Proportions not scaled

PIC16(L)F1503

11.4 Register Definitions: PORTA

REGISTER 11-2: PORTA: PORTA REGISTER

| U-0 | U-0 | R/W-x/x | R/W-x/x | R-x/x | R/W-x/x |
|-------|-------|---------|---------|-------|---------|---------|---------|---------|---------|---------|---------|
| — | — | RA5 | RA4 | RA3 | RA2 | RA1 | RA0 | RA0 | RA0 | RA0 | RA0 |
| bit 7 | bit 0 | | | | | | | | | | |

Legend:
 R = Readable bit
 W = Writeable bit
 U = Unimplemented bit, read as '0'
 x = Bit is unknown
 -n/n = Value at POR and BOR/Value at all other Resets
 '1' = Bit is cleared
 '0' = Bit is set

Unimplemented: Read as '0'
RA<5:0>: PORTA I/O Value bits [1]
 1 = Port pin is $\geq V_{IH}$
 0 = Port pin is $\leq V_{IL}$

Note 1: Writes to PORTA are actually written to corresponding LAT_A register. Reads from PORTA register is return of actual I/O pin values.

REGISTER 11-3: TRISA: PORTA TRI-STATE REGISTER

| U-0 | U-0 | R/W-1/1 | R/W-1/1 | U-1 | R/W-1/1 |
|-------|-------|---------|---------|------------------|---------|---------|---------|---------|---------|---------|---------|
| — | — | TRISA5 | TRISA4 | — ⁽¹⁾ | TRISA2 | TRISA1 | TRISA0 | TRISA0 | TRISA0 | TRISA0 | TRISA0 |
| bit 7 | bit 0 | | | | | | | | | | |

Legend:
 R = Readable bit
 u = Bit is unchanged
 '1' = Bit is set
 '0' = Bit is cleared

Unimplemented: Read as '0'
TRISA<5:4>: PORTA Tri-State Control bit
 1 = PORTA pin configured as an input (tri-stated)
 0 = PORTA pin configured as an output
Unimplemented: Read as '1'
TRISA<2:0>: PORTA Tri-State Control bit
 1 = PORTA pin configured as an input (tri-stated)
 0 = PORTA pin configured as an output

Note 1: Unimplemented, read as '1'.

REGISTER 11-4: LAT_A: PORTA DATA LATCH REGISTER

| U-0 | U-0 | R/W-x/u | R/W-x/u | U-0 | R/W-x/u | R/W-x/u | U-0 | R/W-x/u | R/W-x/u | R/W-x/u | R/W-x/u |
|-------|-------|---------|---------|-----|---------|---------|-----|---------|---------|---------|---------|
| — | — | LATAS | LATA4 | — | LATA5 | LATA4 | — | LATA2 | LATA1 | LATA0 | bit 0 |
| bit 7 | bit 0 | | | | | | | | | | |

Legend:
 R = Readable bit
 u = Bit is unchanged
 '1' = Bit is set
 '0' = Bit is cleared

Unimplemented: Read as '0'
LATA<5:4>: RA<4:4> Output Latch Value bits [1]
Unimplemented: Read as '0'
LATA<2:0>: RA<2:0> Output Latch Value bits [1]

Note 1: Writes to PORTA are actually written to corresponding LAT_A register. Reads from PORTA register is return of actual I/O pin values.

REGISTER 11-5: ANSELA: PORTA ANALOG SELECT REGISTER

| U-0 | U-0 | R/W-1/1 | R/W-1/1 | U-0 | R/W-1/1 | R/W-1/1 | U-0 | R/W-1/1 | R/W-1/1 | R/W-1/1 | R/W-1/1 |
|-------|-------|---------|---------|------------------|---------|---------|-----|---------|---------|---------|---------|
| — | — | ANSAA4 | ANSAA4 | — ⁽¹⁾ | ANSAA4 | ANSAA4 | — | ANSAA2 | ANSAA1 | ANSAA0 | bit 0 |
| bit 7 | bit 0 | | | | | | | | | | |

Legend:
 R = Readable bit
 u = Bit is unchanged
 '1' = Bit is set
 '0' = Bit is cleared

Unimplemented: Read as '0'
ANSAA4: Analog Select between Analog or Digital Function on pins RA4, respectively
 1 = Analog input. Pin is assigned as analog input.⁽¹⁾ Digital input buffer disabled.
 0 = Digital I/O. Pin is assigned to port or digital special function.
Unimplemented: Read as '0'
ANSAA<2:0>: Analog Select between Analog or Digital Function on pins RA<2:0>, respectively
 1 = Analog input. Pin is assigned as analog input.⁽¹⁾ Digital input buffer disabled.
 0 = Digital I/O. Pin is assigned to port or digital special function.

Note 1: When setting a pin to an analog input, the corresponding TRIS_A bit must be set to input mode in order to allow external control of the voltage on the pin.

